

Formulário

- Equação da Hidrostática

$$\rho \vec{g} = \Delta P \qquad \frac{dP}{dz} = -\rho g$$

- Análise integral do escoamento laminar

$$\text{Conservação da massa} \qquad \iint (\vec{v} \cdot \vec{n}) \rho dA + \frac{\partial}{\partial t} \iiint \rho dV = 0$$

$$\text{Conservação da q.d.m.} \qquad \sum \vec{F} = \iint (\vec{v} \cdot \vec{n}) \rho \vec{v} dA + \frac{\partial}{\partial t} \iiint \rho \vec{v} dV$$

$$\text{Conservação da energia} \qquad \frac{\delta Q}{dt} - \frac{\delta W_s}{dt} = \iint \left(e + \frac{P}{\rho} \right) \rho (\vec{v} \cdot \vec{n}) dA + \frac{\partial}{\partial t} \iiint e \rho dV + \frac{\delta W_\mu}{dt}$$

$$\text{Eq. de BERNOLLI:} \qquad y + \frac{v^2}{2g} + \frac{P}{\rho g} = \text{const.}$$

- Lei de Newton do atrito

$$\tau = \mu \frac{dv}{dy}$$

- Análise diferencial do escoamento laminar

$$\text{Eq. de Hagen-Poiseuille:} \qquad -\frac{dP}{dx} = \frac{32\mu v_{med}}{D^2} \qquad (\text{tubo circular horizontal})$$

$$\text{Diâmetro hidráulico} \qquad D_H = \frac{4 \cdot S}{P_{molhado}}$$

- Potência útil

$$W_u = Q \cdot \rho \cdot g \cdot h$$

- Equações diferenciais básicas

$$\text{Continuidade:} \qquad \frac{\partial \rho}{\partial t} + \nabla \cdot (\rho \vec{v}) = 0$$

$$\text{Cons. da q.d.m.:} \qquad \rho \frac{D\vec{v}}{Dt} = \rho \vec{g} - \nabla P + \mu \nabla^2 \vec{v} \qquad \text{Eq.s Navier-Stokes } (\rho \text{ e } \mu \text{ constantes})$$

• **Alguns números adimensionais**

$$Re = \frac{\rho L v}{\mu} \quad Fr = \frac{v^2}{gL} \quad Eu = \frac{P_a}{\rho v^2} \quad Ma = \frac{v}{a} \quad C_d = \frac{F_{arrasto}}{(1/2)\rho v^2 A}$$

• **Perfil universal de velocidades**

zona turbulenta:	$y^+ \geq 30$	$v^+ = 5,5 + 2,5 \ln y^+$
zona tampão:	$30 > y^+ \geq 5$	$v^+ = -3,05 + 5,0 \ln y^+$
sub-camada laminar:	$5 > y^+ > 0$	$v^+ = y^+$

$$y^+ = \frac{u_* y}{\nu}$$

$$v^+ = \frac{\bar{v}_x}{u_*}$$

$$u_* = \sqrt{(\tau_0/\rho)}$$

• **Equações da camada limite (c. l.)**

Laminar ($Re_x < 2 \times 10^5$)	$\frac{\delta}{x} = \frac{5}{Re_x^{1/2}}$	$\frac{\delta^*}{x} = \frac{1,721}{Re_x^{1/2}}$	$C_{fL} = \frac{1,328}{Re_L^{1/2}}$	$\tau_0 = \frac{0,332 \rho^{1/2} \mu^{1/2} v_\infty^{3/2}}{x^{1/2}}$
Turbulenta ($Re_x > 3 \times 10^6$)	$\frac{\delta}{x} = \frac{0,376}{Re_x^{1/5}}$	$\frac{\delta^*}{x} = \frac{\delta}{8}$	$C_{fL} = \frac{0,074}{Re_L^{1/5}}$	$\tau_0 = \frac{0,0135 \rho^{6/7} \mu^{1/7} v_\infty^{13/7}}{x^{1/7}}$

$$Re_x = \frac{v_\infty x}{\nu}$$

• **Perdas de carga em escoamentos em condutas fechadas**

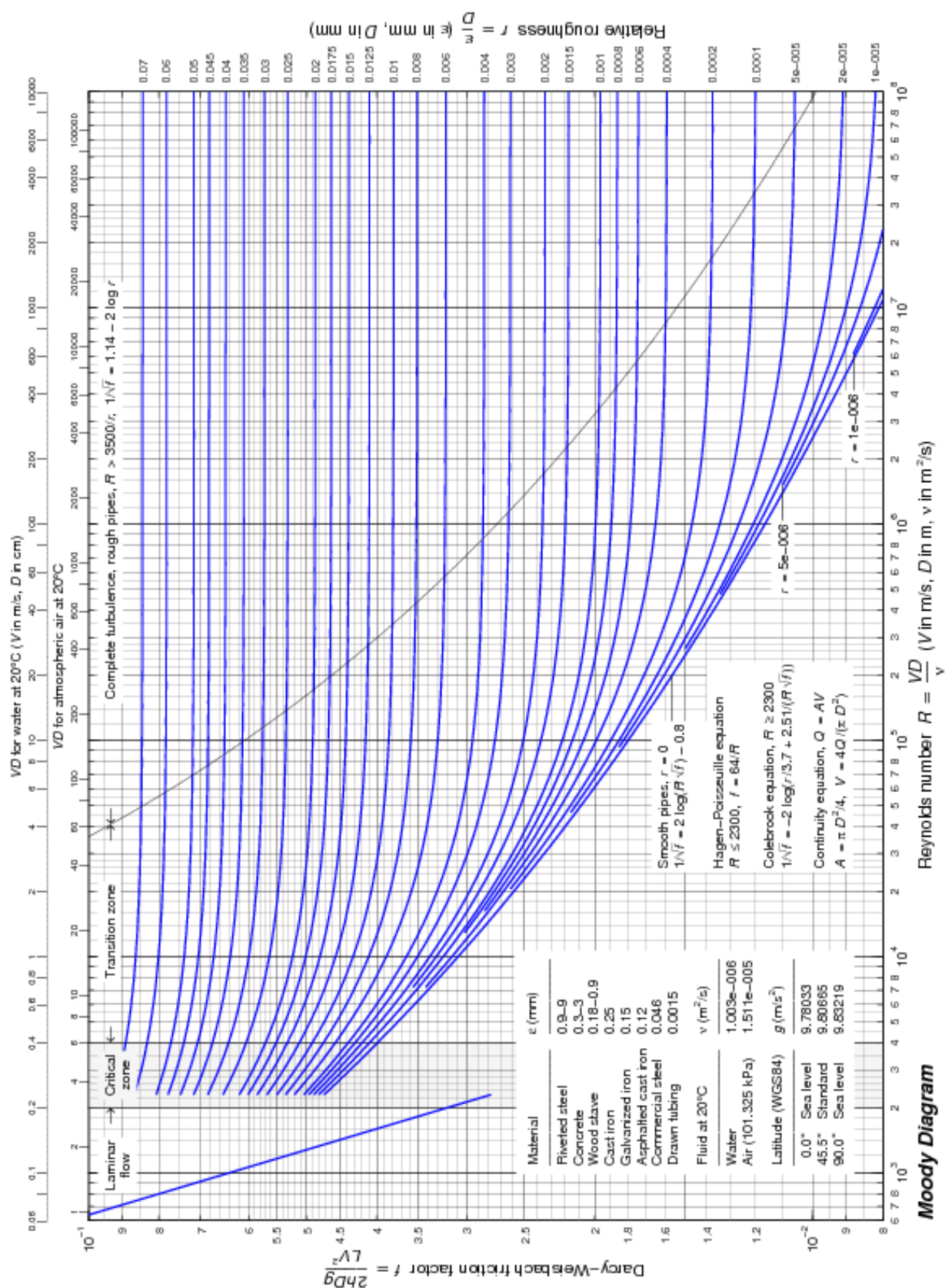
Perdas de carga em linha: $h_L = 2f \frac{L}{D} \frac{v^2}{g}$ f = coef. de atrito de fanning (D. Moody)

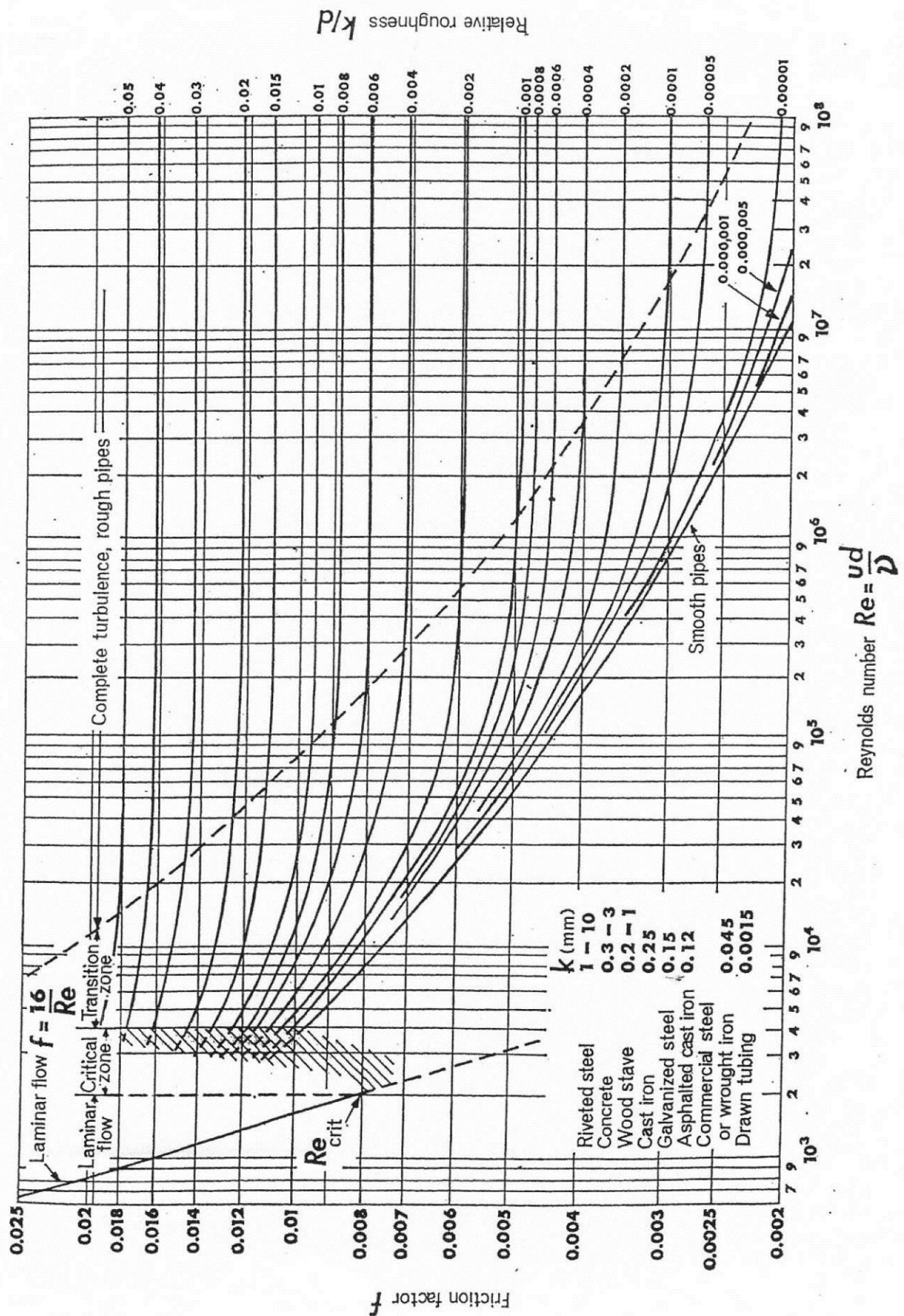
Perdas de carga em linha: $h_L = f_D \frac{L}{D} \frac{v^2}{2g}$ f_D = coef. de atrito de Darcy (D. Moody)

Perdas de carga localizadas: $h_l = K \frac{v^2}{2g}$ K = coef. de perda localizada

• **Medição de escoamentos**

$$Q = A_t C_d \left[\frac{2(P_1 - P_2)}{\rho(1 - \beta^4)} \right]^{1/2} \quad C_d = \text{coef. de descarga} \quad \beta = d/D$$





PROCESS PIPING: FUNCTIONAL DESIGN . . .

Resistance coefficients for valves and fitting—Table II

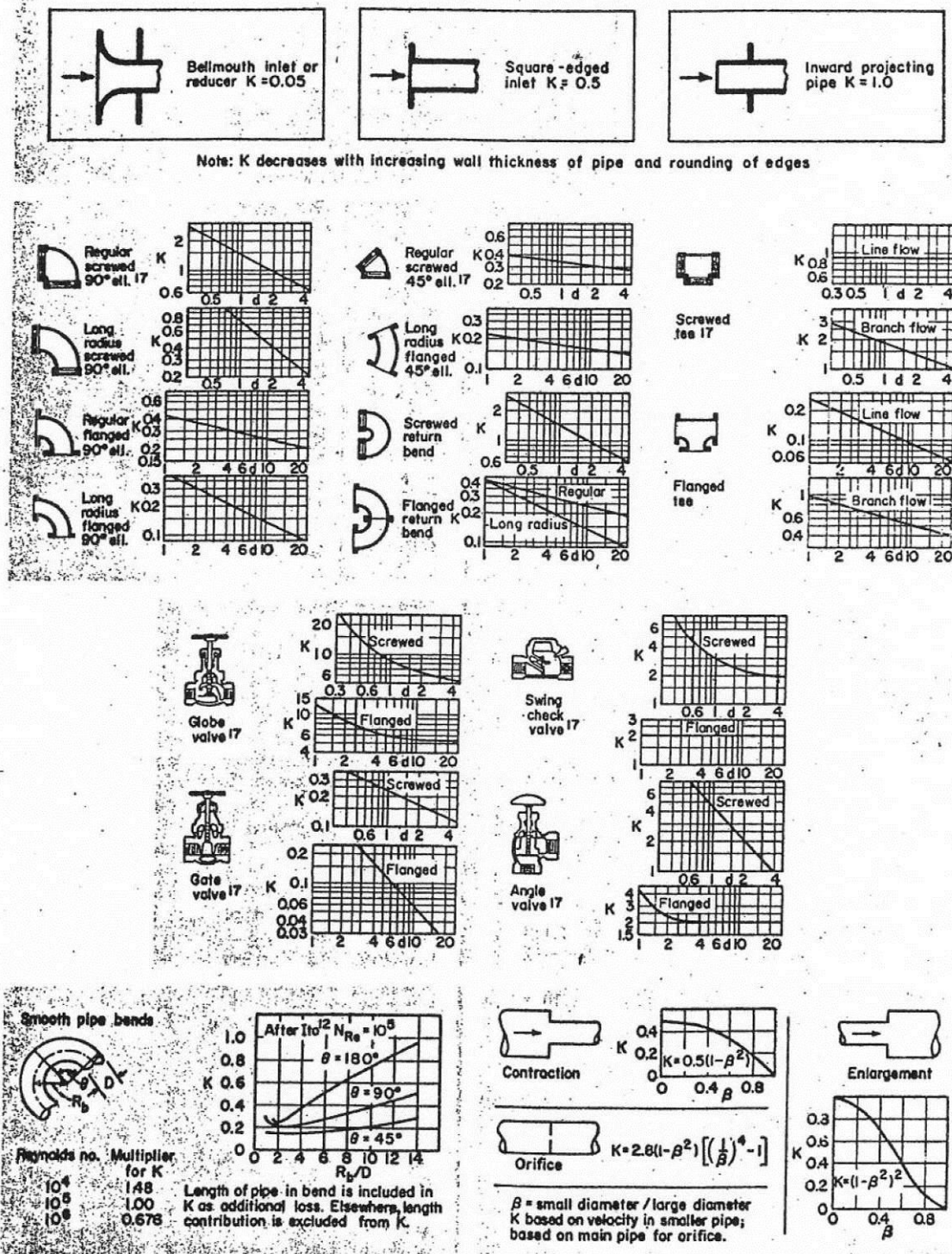
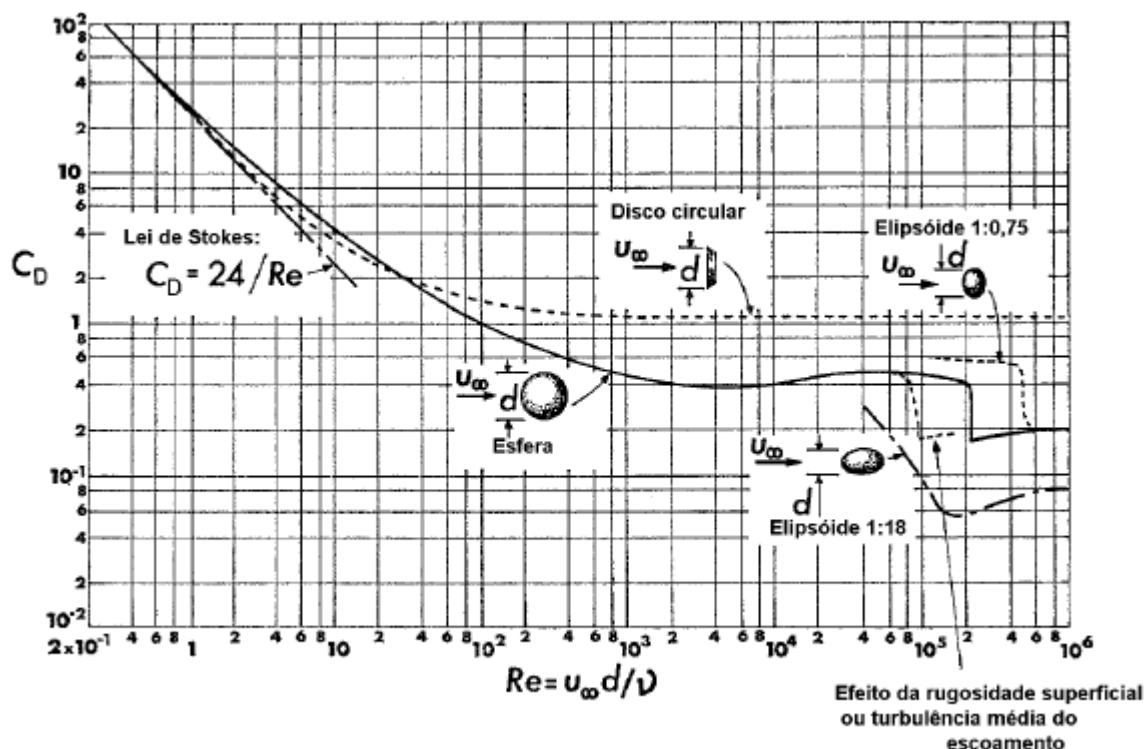
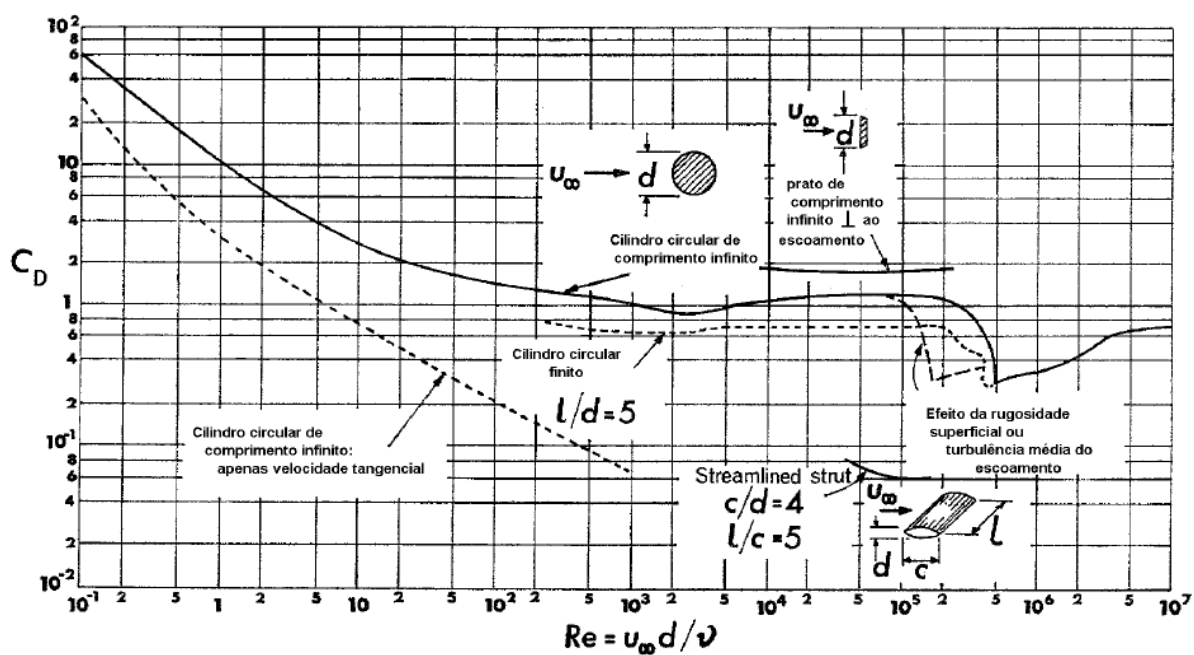


Figura 8.3: Perdas de carga localizadas para cotovelos, válvulas, convergentes, difusores e zonas de entrada em condutas (em polegadas).



Coeficientes de arrasto para corpos axi-simétricos (superfícies lisas)



Coeficientes de arrasto para corpos bidimensionais